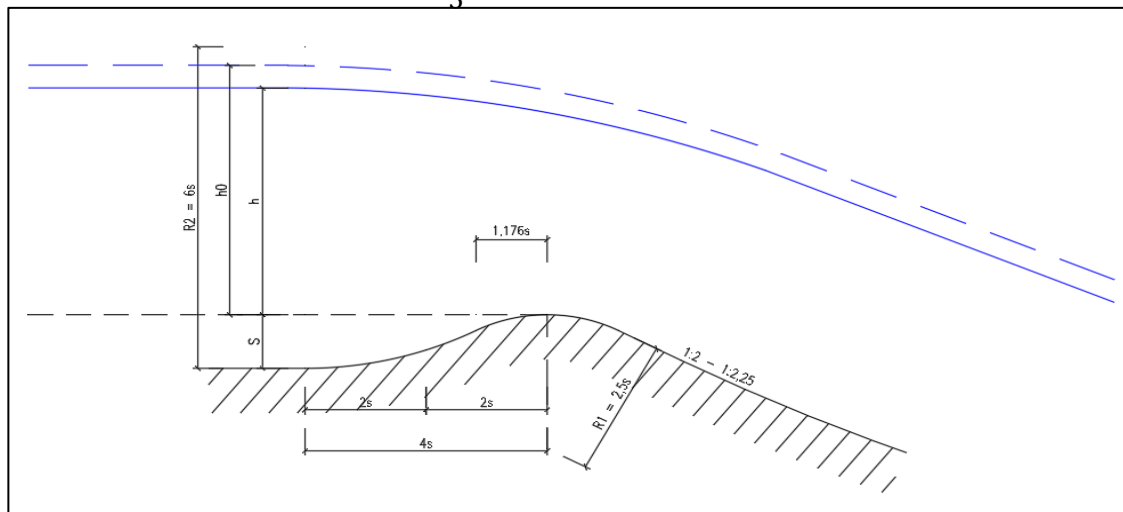


Příloha 1 - Konsumpční křivka jamborova prahu

Pro jamborův práh o rozměrech $s=0.5$ m a $b=6.25$ m byla vypočtena konsumpční křivka. Práh je vybaven kynetou pro převedení nízkých průtoků o šířce 0.7 m a hloubce 0.25 m.

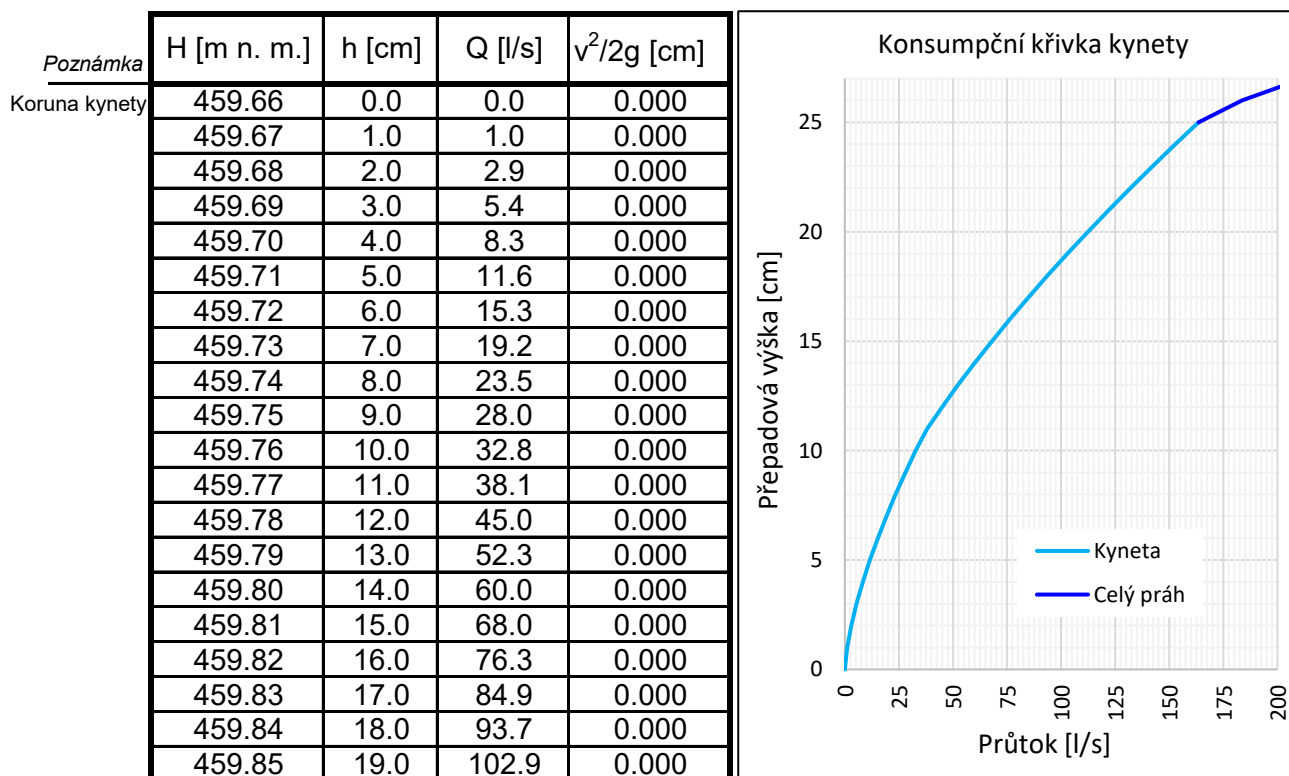
Přepadové množství bylo vypočteno rovnicí přepadu podle Weisbacha (1) se započtením vlivu přítokové rychlosti a vlivu zatopení, tedy nedokonalého přepadu.

$$Q = \sigma_z \frac{2}{3} \mu_p b_o \sqrt{2g} (h_o^{3/2})$$



Obrázek 1 – Schéma jamborova prahu

Vzniklá konsumpční křivka je uvedena v grafické i tabulkové podobě níže:



Poznámka	H [m n. m.]	h [cm]	Q [l/s]	$v^2/2g$ [cm]	H [m n. m.]	h [cm]	Q [l/s]	$v^2/2g$ [cm]
Koruna prahu	459.86	20.0	112	0.0	460.38	72.0	4 831	2.0
	459.87	21.0	122	0.0	460.39	73.0	4 993	2.1
	459.88	22.0	132	0.0	460.40	74.0	5 157	2.1
	459.89	23.0	142	0.0	460.41	75.0	5 322	2.2
	459.90	24.0	153	0.0	460.42	76.0	5 489	2.3
	459.91	25.0	164	0.0	460.43	77.0	5 658	2.3
	459.92	26.0	184	0.0	460.44	78.0	5 828	2.4
	459.93	27.0	212	0.0	460.45	79.0	6 000	2.4
	459.94	28.0	245	0.0	460.46	80.0	6 174	2.5
	459.95	29.0	283	0.0	460.47	81.0	6 349	2.5
	459.96	30.0	324	0.0	460.48	82.0	6 525	2.6
	459.97	31.0	369	0.0	460.49	83.0	6 703	2.6
	459.98	32.0	417	0.0	460.50	84.0	6 883	2.7
	459.99	33.0	469	0.1	460.51	85.0	7 064	2.7
	460.00	34.0	523	0.1	460.52	86.0	7 246	2.8
	460.01	35.0	579	0.1	460.53	87.0	7 430	2.8
	460.02	36.0	638	0.1	460.54	88.0	7 616	2.8
	460.03	37.0	700	0.1	460.55	89.0	7 802	2.9
	460.04	38.0	764	0.2	460.56	90.0	7 991	2.9
	460.05	39.0	831	0.2	460.57	91.0	8 180	3.0
	460.06	40.0	899	0.2	460.58	92.0	8 371	3.0
	460.07	41.0	970	0.3	460.59	93.0	8 563	3.1
	460.08	42.0	1 042	0.3	460.60	94.0	8 757	3.1
	460.09	43.0	1 117	0.3	460.61	95.0	8 952	3.1
	460.10	44.0	1 194	0.4	460.62	96.0	9 148	3.2
	460.11	45.0	1 273	0.4	460.63	97.0	9 345	3.2
	460.12	46.0	1 353	0.4	460.64	98.0	9 544	3.3
	460.13	47.0	1 441	0.5	460.65	99.0	9 744	3.3
	460.14	48.0	1 548	0.5	460.66	100.0	9 946	3.3
	460.15	49.0	1 657	0.6	460.67	101.0	10 148	3.4
	460.16	50.0	1 769	0.6	460.68	102.0	10 352	3.4
	460.17	51.0	1 884	0.7	460.69	103.0	10 557	3.4
	460.18	52.0	2 002	0.8	460.70	104.0	10 763	3.5
	460.19	53.0	2 122	0.8	460.71	105.0	10 971	3.5
	460.20	54.0	2 245	0.9	460.72	106.0	11 179	3.5
	460.21	55.0	2 370	1.0	460.73	107.0	11 389	3.5
	460.22	56.0	2 498	1.0	460.74	108.0	11 600	3.6
	460.23	57.0	2 628	1.1	460.75	109.0	11 813	3.6
	460.24	58.0	2 760	1.2	460.76	110.0	12 026	3.6
	460.25	59.0	2 895	1.2	460.77	111.0	12 240	3.7
	460.26	60.0	3 032	1.3	460.78	112.0	12 456	3.7
	460.27	61.0	3 171	1.3	460.79	113.0	12 673	3.7
	460.28	62.0	3 312	1.4	460.80	114.0	12 891	3.7
	460.29	63.0	3 455	1.5	460.81	115.0	13 110	3.8
	460.30	64.0	3 600	1.5	460.82	116.0	13 330	3.8
	460.31	65.0	3 747	1.6	460.83	117.0	13 552	3.8
	460.32	66.0	3 896	1.7	460.84	118.0	13 774	3.8
	460.33	67.0	4 048	1.7	460.85	119.0	13 998	3.9
	460.34	68.0	4 201	1.8	460.86	120.0	14 222	3.9
	460.35	69.0	4 356	1.8	460.87	121.0	14 448	3.9
	460.36	70.0	4 512	1.9	460.88	122.0	14 660	3.9
	460.37	71.0	4 671	2.0	460.89	123.0	14 903	3.9

